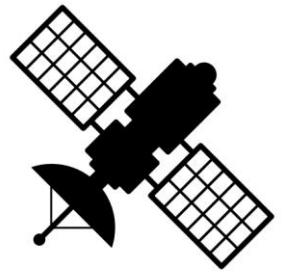


Presentación #3

Análisis geoespacial

Mateo López Mogollón
Ing. Civil
Programa: Esp. R.H.



Contextualización E2

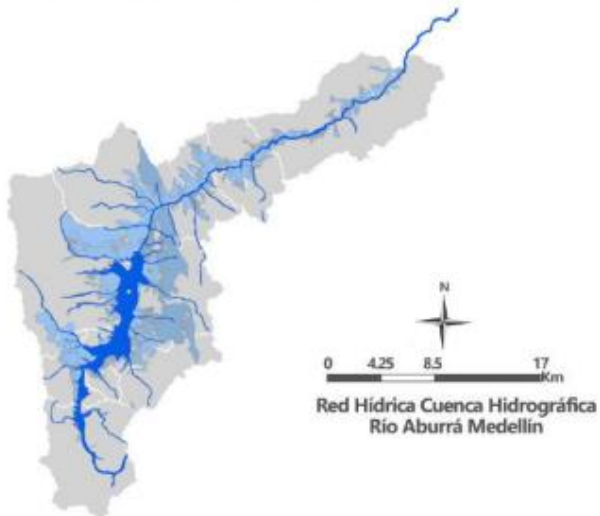
Problema:

Evolución de coberturas y su efecto en aportes de caudal durante eventos extremos.

Motivación:

Comprender desde una perspectiva geoespacial, las causas de inundación en entornos urbanos en escala de microcuenca.

Caso de estudio:
Cuenca Río Aburrá



Fuente: portal área metropolitana

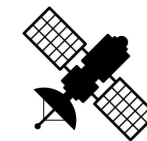


Fuente: El Colombiano, 29/04/2025



Fuente: infobae, 29/04/2025

Contextualización E2



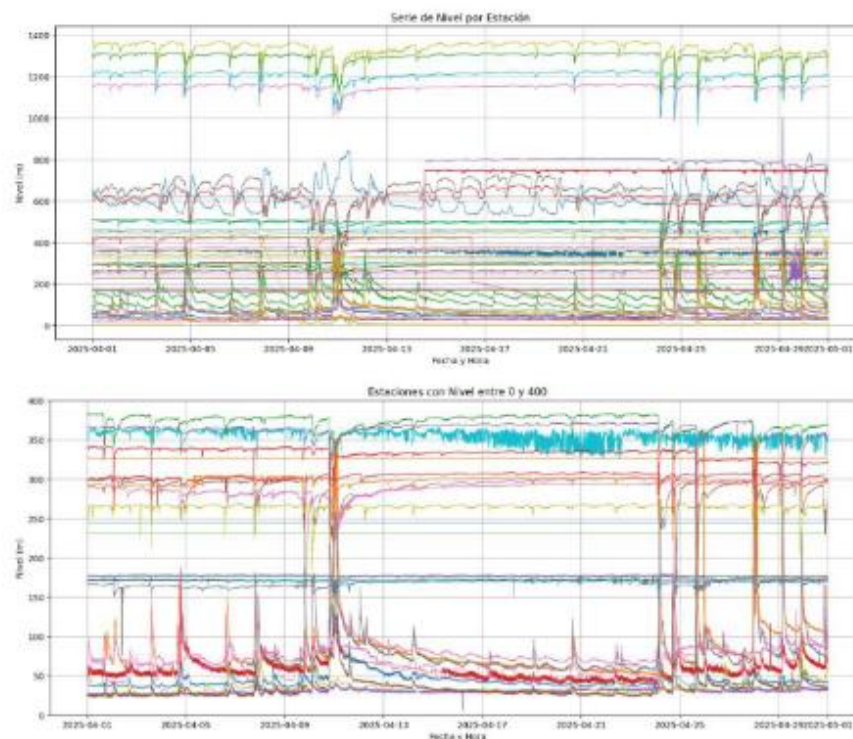
Fuentes de información:

SIATA (estaciones de nivel y precipitación),
ALOS PALSAR (MDT, 12.5m)
IDEAM (coberturas)
IGAC (capas vectoriales diversas)

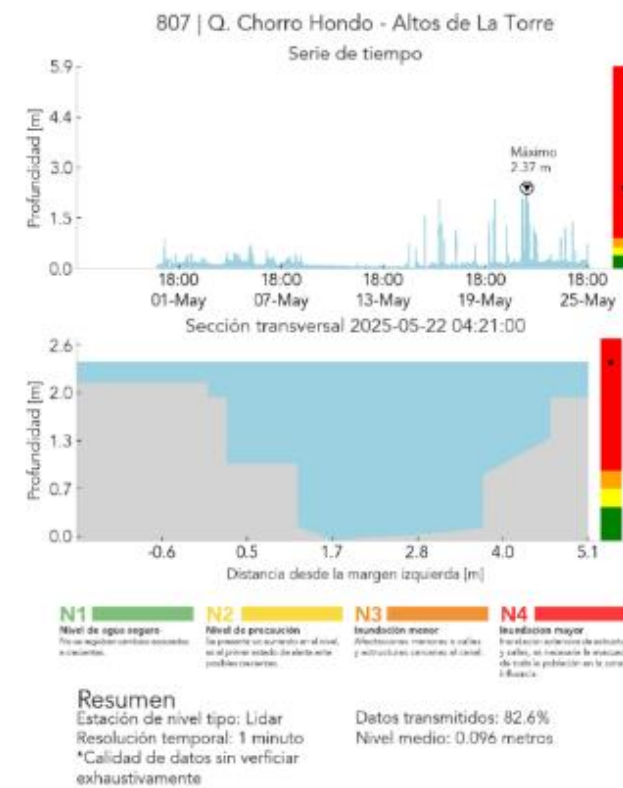


Estaciones meteorológicas AMVA
Fuente: portal SIATA

Discretización de eventos: cuando el sensor registre nivel de emergencia en estación de nivel fija

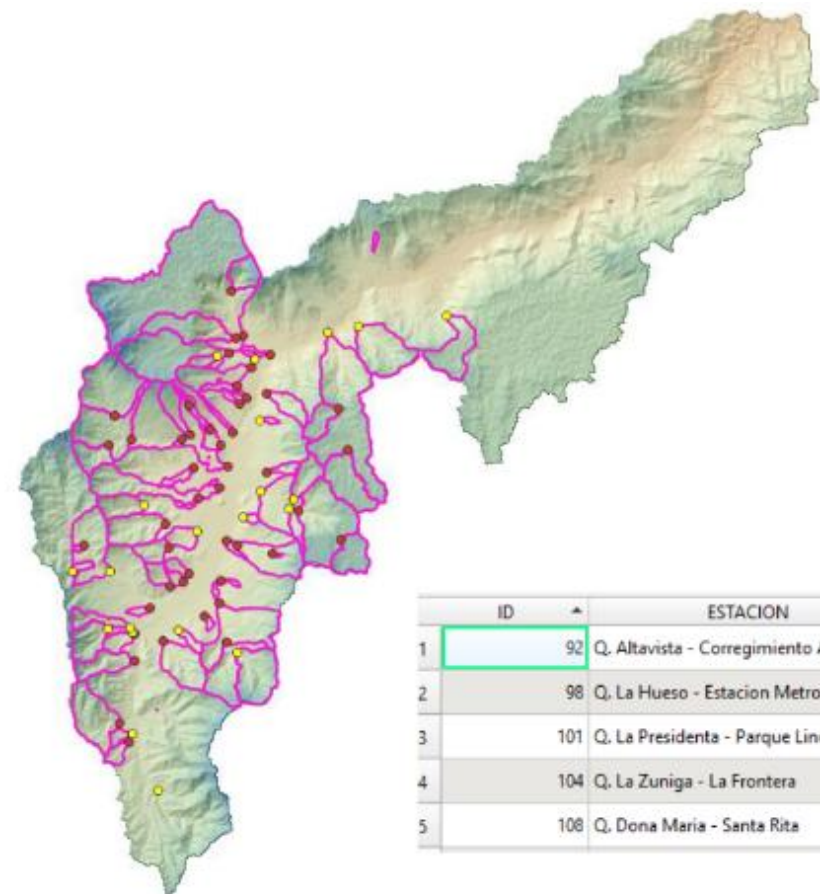


Serie de niveles (abril, 2025), en 87 estaciones red SIATA





Contextualización E2



20 estaciones (amarillo) de 68 con reporte de riesgo y sus cuencas (rojo). AMVA

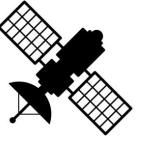
Atributos:

- ID: código estación
- ESTACION: Drenaje al que pertenece
- DESBORDE: Si presento crecientes en el mes (1), sino (0)
- AREA: área de la cuenca aportante [km2]
- TIA: área impermeable / área total [%]
- PPT: precipitación promedio diaria [mm/día]
- COTA: elevación de terreno [m.s.n.m.]

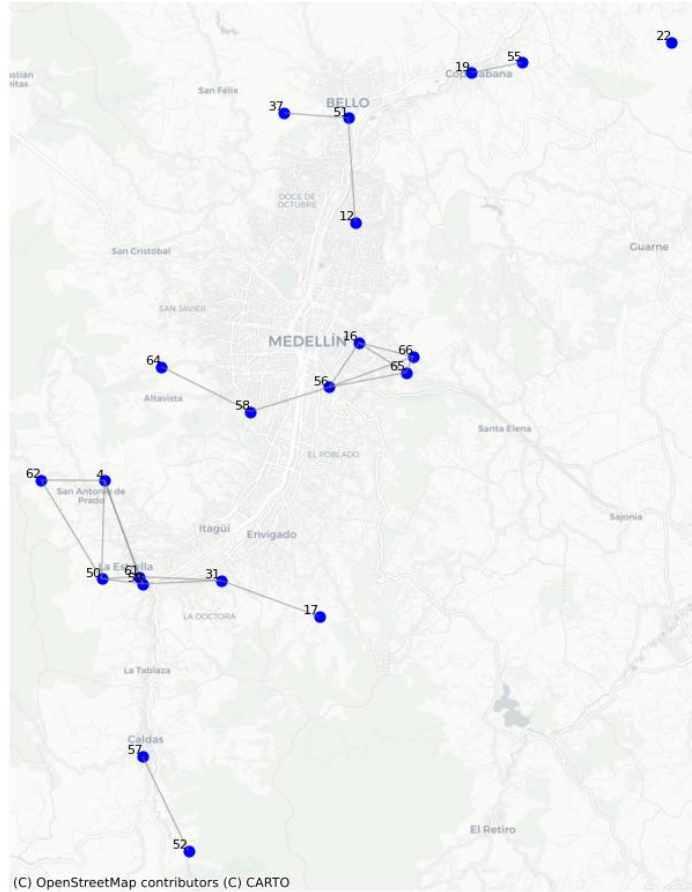
	ID	ESTACION	DESBORDE	LONGITUD	LATITUD	AREA	AREA IMP	AREA PERM	TIA	PPT	COTA
1	92	Q. Altavista - Corregimiento Altavista	0	-75.6160200000...	6.221850000000...	7.790150588000...	1.050364173000...	6.739786415000...	13.48323323000...	320.6816101074...	1619.000000000...
2	98	Q. La Hueso - Estacion Metro Floresta	0	-75.5974300000...	6.258590000000...	1.162763574000...	1.076476571000...	0.086287003	92.57914463999...	289.2758789062...	1517.000000000...
3	101	Q. La Presidenta - Parque Lineal La Pr...	0	-75.5693799999...	6.207790000000...	8.646379494000...	3.865673624000...	4.780705870000...	44.70858151000...	260.5184936523...	1565.000000000...
4	104	Q. La Zuniga - La Frontera	0	-75.5798199999...	6.185110000000...	0.327368253	0.231352579	0.096015674	70.67043821999...	296.5843505859...	1555.000000000...
5	108	Q. Dona Maria - Santa Rita	1	-75.6514999999...	6.190590000000...	11.01758285000...	0.591719081	10.42586376000...	5.502340950000...	460.2601318359...	1761.000000000...

Dataframe de puntos

Matriz de vecindad

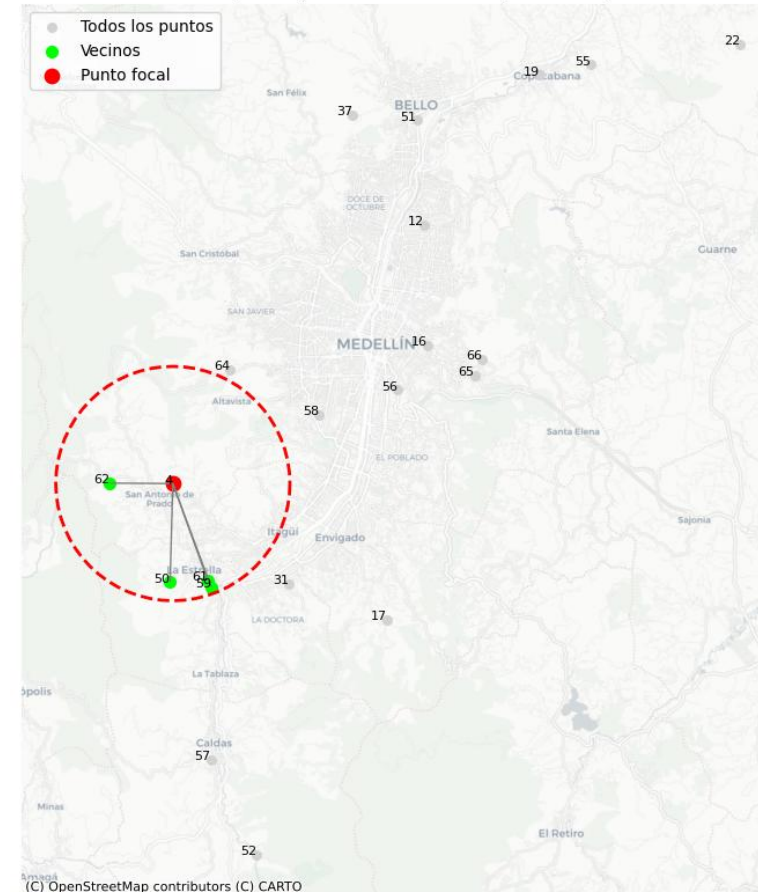


Red de Vecindad (DESBORDE=True) con fondo de mapa



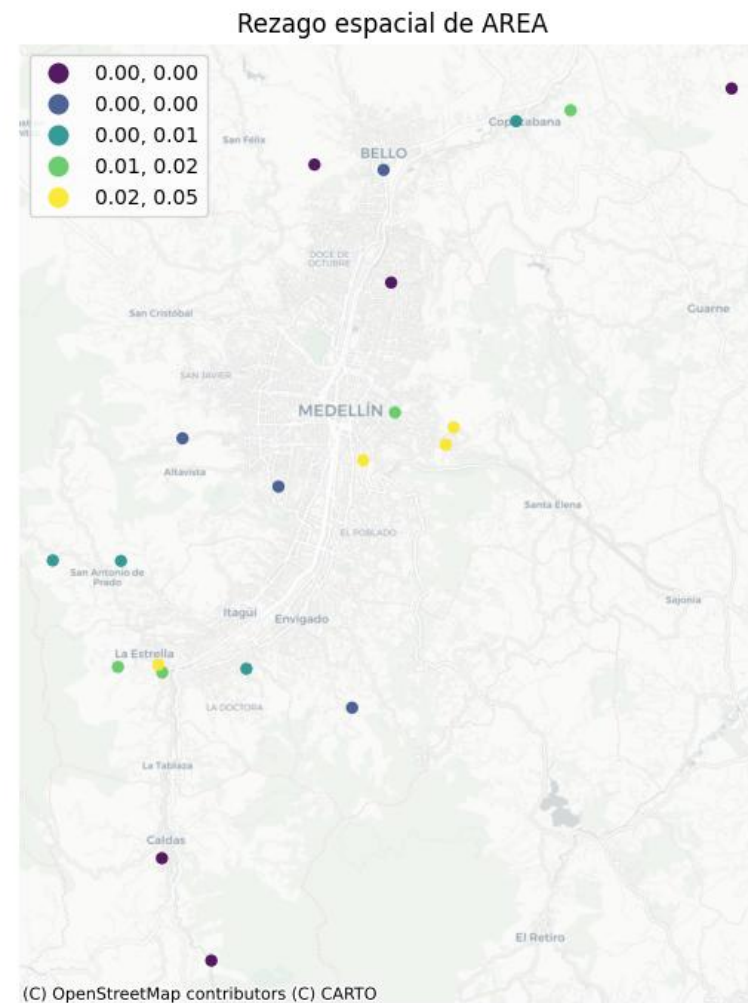
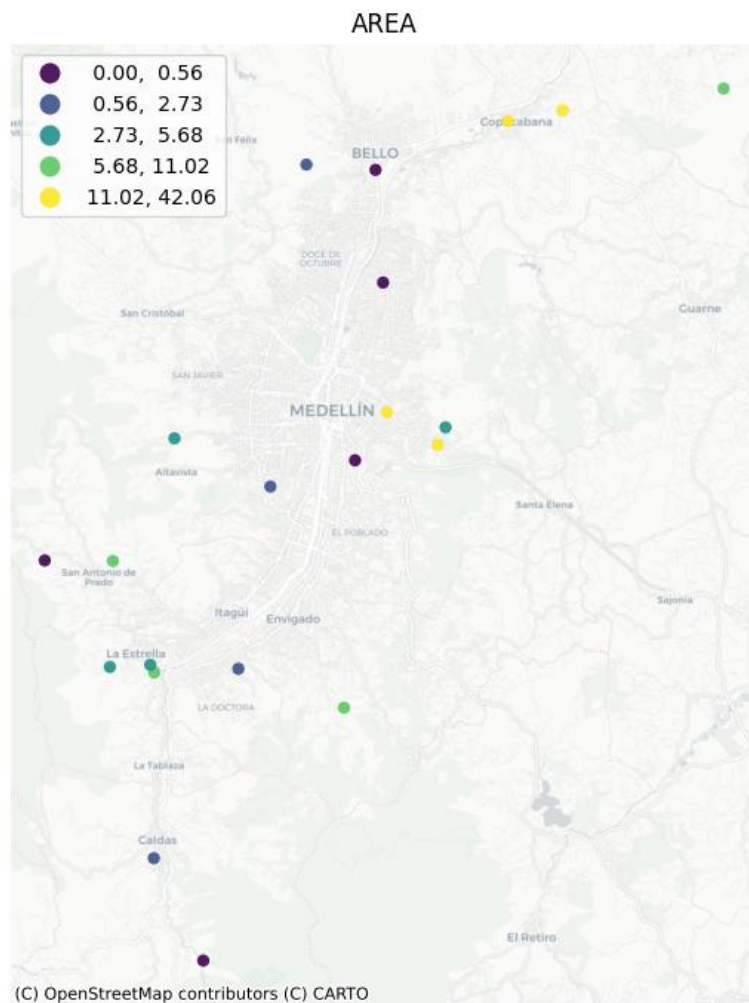
Matriz de vecindad por distancias, $D = 5$ km

Vecindad espacial (inverso de distancia) desde el punto 4



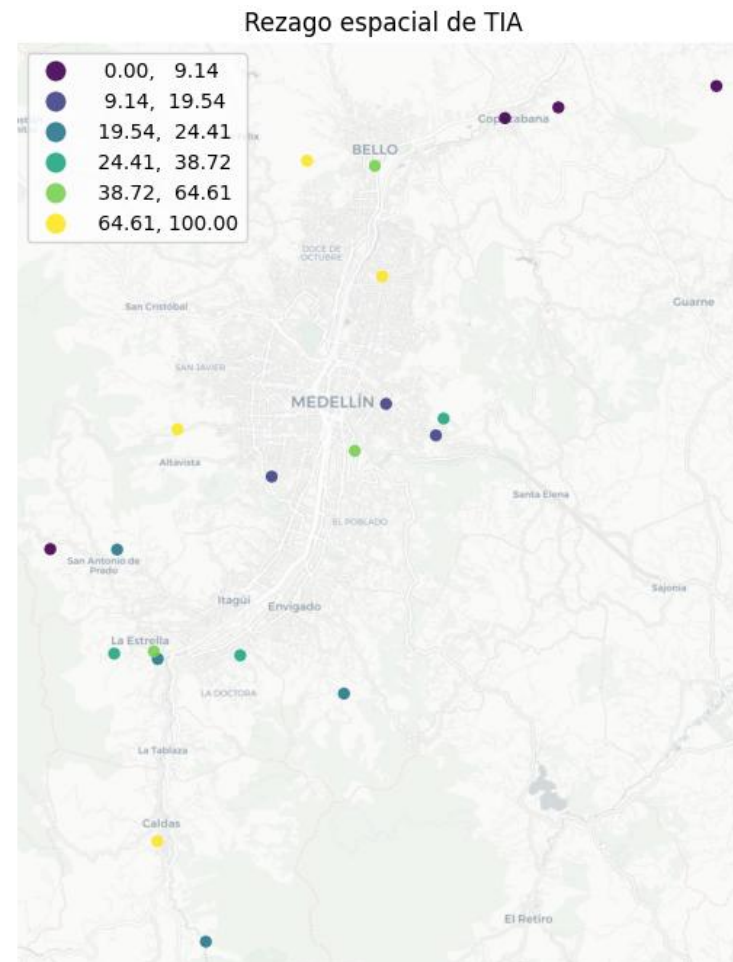
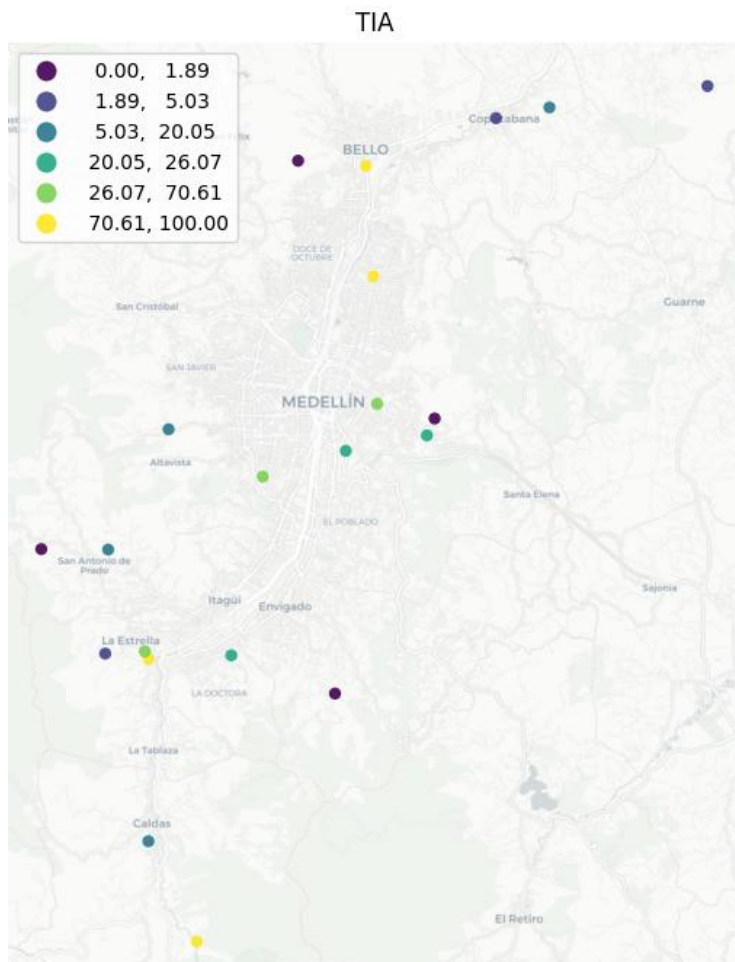
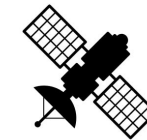
Inverso de la distancia. Punto 4

Rezago espacial (área)



Comparación rezago área de cuenca km²

Rezago espacial (TIA)



Comparación rezago % TIA de cuenca (total impervious area)

Índice de MORAN



Gráfico de Moran - AREA

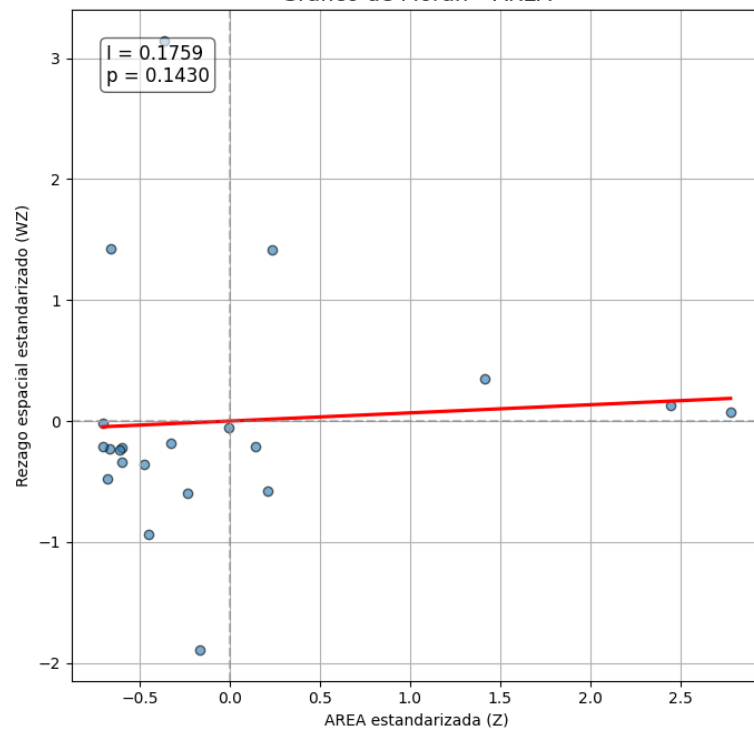


Gráfico de Moran - TIA

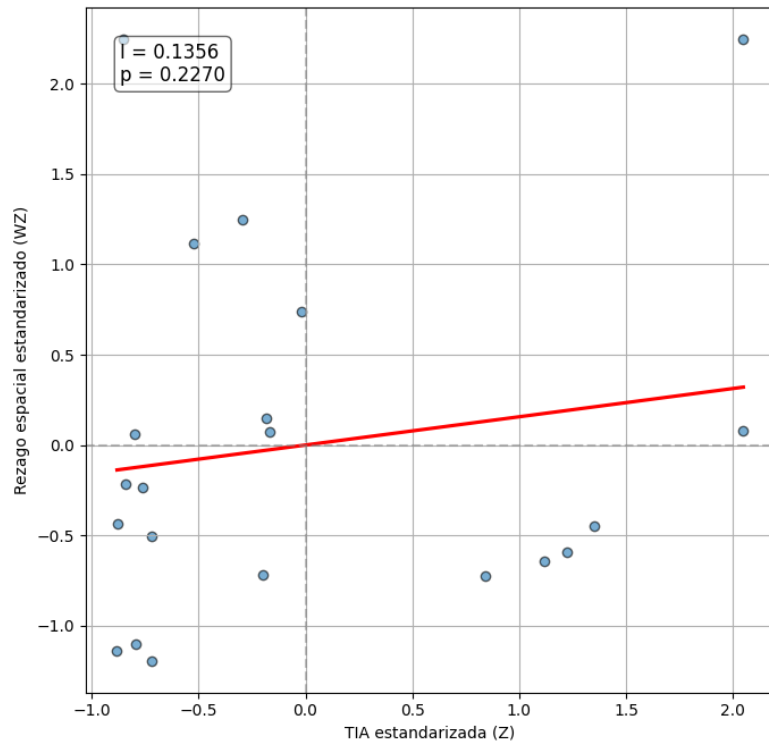
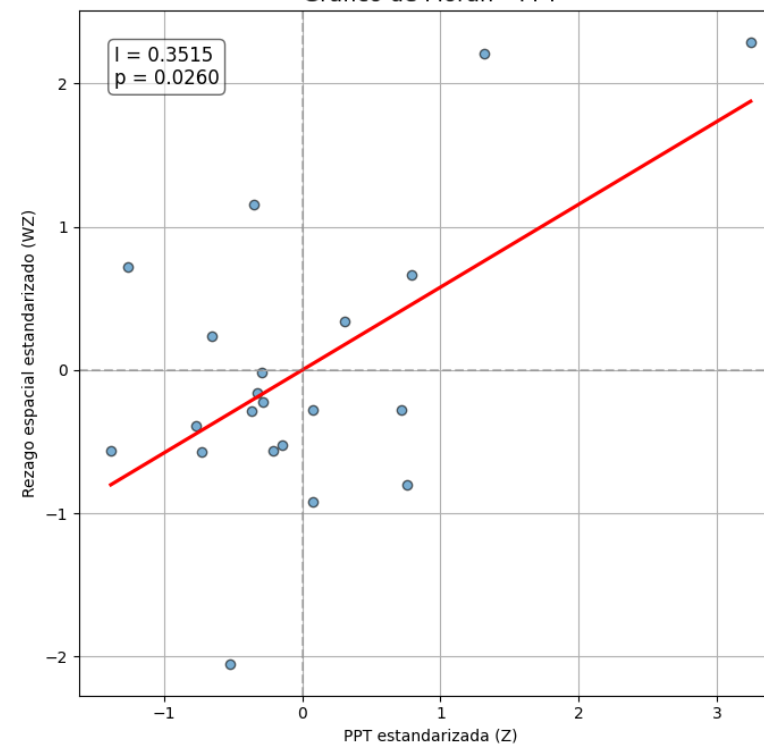
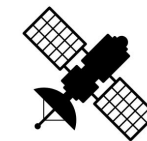


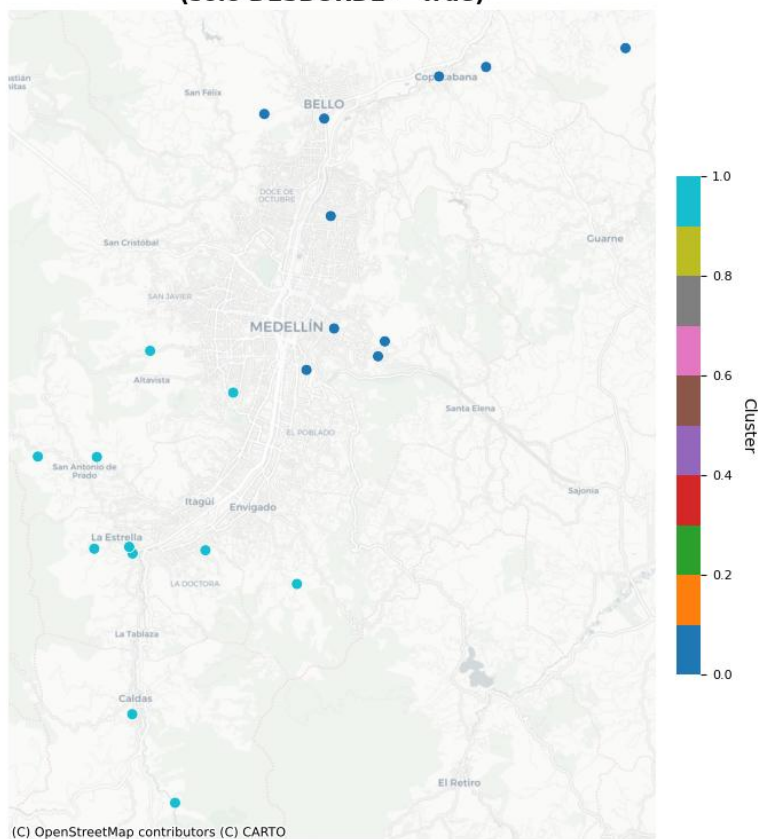
Gráfico de Moran - PPT



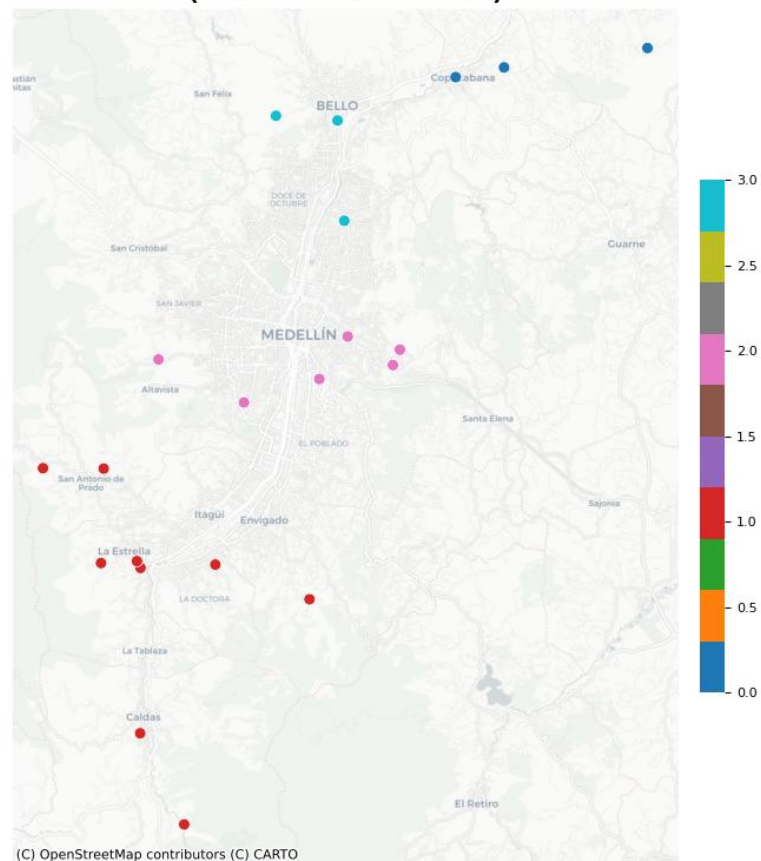


Clasificación K means

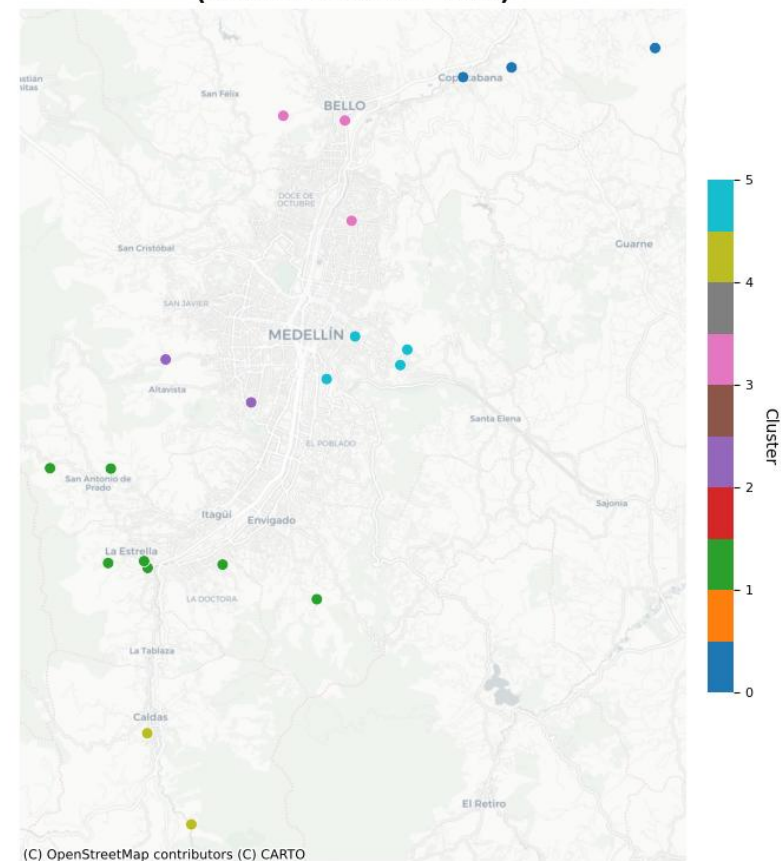
**Clustering K-means con 2 grupos
(solo DESBORDE = True)**

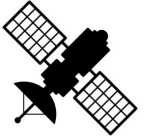


**Clustering K-means con 4 grupos
(solo DESBORDE = True)**



**Clustering K-means con 6 grupos
(solo DESBORDE = True)**





Modelo OLS

$R^2 = 2.8\%$

AIC = 99.98

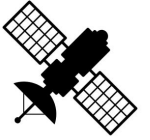
SUMMARY OF OUTPUT: ORDINARY LEAST SQUARES

```
-----
Data set           :      unknown
Weights matrix     :      None
Dependent Variable : DESBORDE_BIN
Mean dependent var :      0.3088
S.D. dependent var :      0.4654
R-squared          :      0.0288
Adjusted R-squared :     -0.0668
Sum squared residual:    14.0971
Sigma-square       :      0.231
S.E. of regression :      0.481
Sigma-square ML    :      0.207
S.E of regression ML:    0.4553

Number of Observations:      68
Number of Variables   :      7
Degrees of Freedom    :      61

F-statistic          :      1.1546
Prob(F-statistic)    :      0.3424
Log likelihood       :     -42.988
Akaike info criterion:     99.975
Schwarz criterion    :    115.512
-----
```

Variable	Coefficient	Std.Error	t-Statistic	Probability
CONSTANT	0.33993	0.68069	0.49939	0.61930
AREA	-3467.30164	160158.87635	-0.02165	0.98280
AREA IMP	3467.26366	160158.87641	0.02165	0.98280
AREA PERM	3467.29857	160158.87634	0.02165	0.98280
TIA	-0.00005	0.00250	-0.02180	0.98268
PPT	0.00149	0.00108	1.38204	0.17200
COTA	-0.00031	0.00032	-0.96428	0.33871



Modelo SAR

$R^2 = 6.76\%$
 $AIC = 100.64$

SUMMARY OF OUTPUT: MAXIMUM LIKELIHOOD SPATIAL LAG (METHOD = FULL)

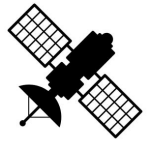
Data set	:	unknown		
Weights matrix	:	unknown		
Dependent Variable	:	DESBORDE_BIN	Number of Observations:	68
Mean dependent var	:	0.3088	Number of Variables	8
S.D. dependent var	:	0.4654	Degrees of Freedom	60
Pseudo R-squared	:	0.0676		
Spatial Pseudo R-squared	:	0.0463		
Log likelihood	:	-42.3193		
Sigma-square ML	:	0.2018	Akaike info criterion	100.639
S.E of regression	:	0.4492	Schwarz criterion	118.395

Variable	Coefficient	Std.Error	z-Statistic	Probability
CONSTANT	0.26118	0.63608	0.41060	0.68136
AREA	-3580.78676	263183.87253	-0.01361	0.98914
AREA IMP	3580.75190	263183.87263	0.01361	0.98914
AREA PERM	3580.78450	263183.87252	0.01361	0.98914
TIA	0.00044	0.00234	0.18793	0.85093
PPT	0.00163	0.00102	1.59325	0.11110
COTA	-0.00033	0.00030	-1.10124	0.27079
W_DESBORDE_BIN	0.16681	0.14344	1.16290	0.24487

SPATIAL LAG MODEL IMPACTS

Impacts computed using the 'simple' method.

Variable	Direct	Indirect	Total
AREA	-3580.7868	-716.8914	-4297.6782
AREA IMP	3580.7519	716.8844	4297.6363
AREA PERM	3580.7845	716.8910	4297.6755
TIA	0.0004	0.0001	0.0005
PPT	0.0016	0.0003	0.0020
COTA	-0.0003	-0.0001	-0.0004



Modelo SLX

$R^2 = 13\%$

AIC = 104.49

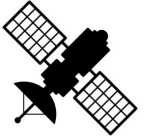
REGRESSION RESULTS				

SUMMARY OF OUTPUT: ORDINARY LEAST SQUARES				

Data set	:	unknown		
Weights matrix	:	None		
Dependent Variable	:	DESBORDE_BIN	Number of Observations:	68
Mean dependent var	:	0.3088	Number of Variables	: 13
S.D. dependent var	:	0.4654	Degrees of Freedom	: 55
R-squared	:	0.1300		
Adjusted R-squared	:	-0.0598		
Sum squared residual	:	12.6279	F-statistic	: 1.9025
Sigma-square	:	0.230	Prob(F-statistic)	: 0.0542
S.E. of regression	:	0.479	Log likelihood	: -39.246
Sigma-square ML	:	0.186	Akaike info criterion	: 104.491
S.E of regression ML	:	0.4309	Schwarz criterion	: 133.345

Variable	Coefficient	Std.Error	t-Statistic	Probability

CONSTANT	2.18705	2.15800	1.01346	0.31528
AREA	4567269.54256	260995.01519	17.49945	0.00000
AREA IMP	-4567269.55029	260995.00949	-17.49945	0.00000
AREA PERM	-4567269.55288	260995.00775	-17.49945	0.00000
TIA	0.00300	0.00262	1.14334	0.25785
PPT	0.00378	0.00142	2.66626	0.01005
COTA	-0.00064	0.00039	-1.62650	0.10956
W_AREA	-2807.98762	393630.43056	-0.00713	0.99433
W_AREA IMP	2807.82670	393630.43075	0.00713	0.99433
W_AREA PERM	2807.98924	393630.43059	0.00713	0.99433
W_TIA	-0.00825	0.00674	-1.22435	0.22604
W_PPT	-0.00731	0.00275	-2.65744	0.01029
W_COTA	0.00056	0.00116	0.48142	0.63213



Modelo SEM

$R^2 = 6.31\%$

```

Data set      :      unknown
Weights matrix :      unknown
Dependent Variable : DESBORDE_BIN      Number of Observations:      68
Mean dependent var :      0.3088      Number of Variables   :      7
S.D. dependent var :      0.4654      Degrees of Freedom    :      61
Pseudo R-squared :      0.0631
N. of iterations :      1      Step1c computed      :      No
  
```

Variable	Coefficient	Std.Error	z-Statistic	Probability
CONSTANT	0.32222	0.51412	0.62674	0.53083
AREA	7907.38013			
AREA IMP	-7907.41345			
AREA PERM	-7907.37803			
TIA	0.00073	0.00240	0.30509	0.76030
PPT	0.00184	0.00097	1.89351	0.05829
COTA	-0.00035	0.00024	-1.47690	0.13970
lambda	0.20922	0.18220	1.14832	0.25083

Referencias:

- Han Chen, Yizhao Wei, Jinhui Jeanne Huang. (2023). Altered landscape pattern dominates the declined urban evapotranspiration trend.
- Guzman G. (2018). Análisis de la influencia del diseño urbano en la meteorología del Valle de Aburra
- Osorio D. (2019). Vulnerabilidad de la disponibilidad actual y futura del recurso hídrico en el valle de Aburra y sus cuencas abastecedoras.

